

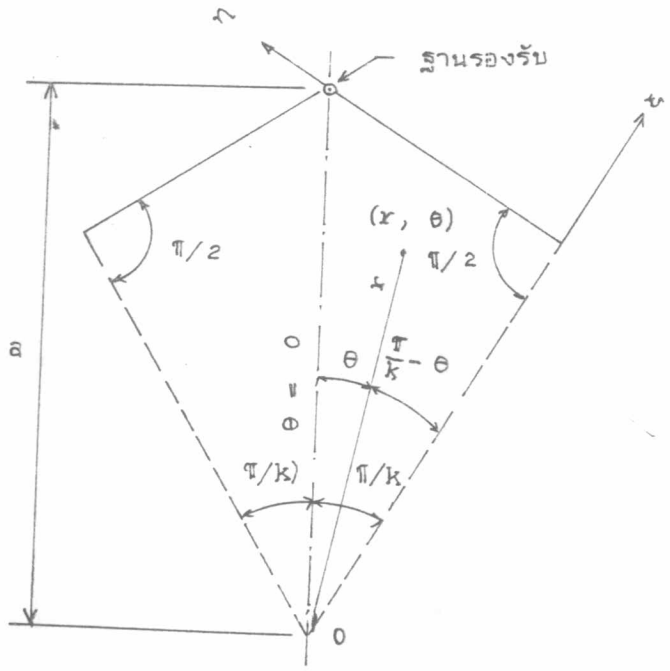
เอกสารอ้างอิง



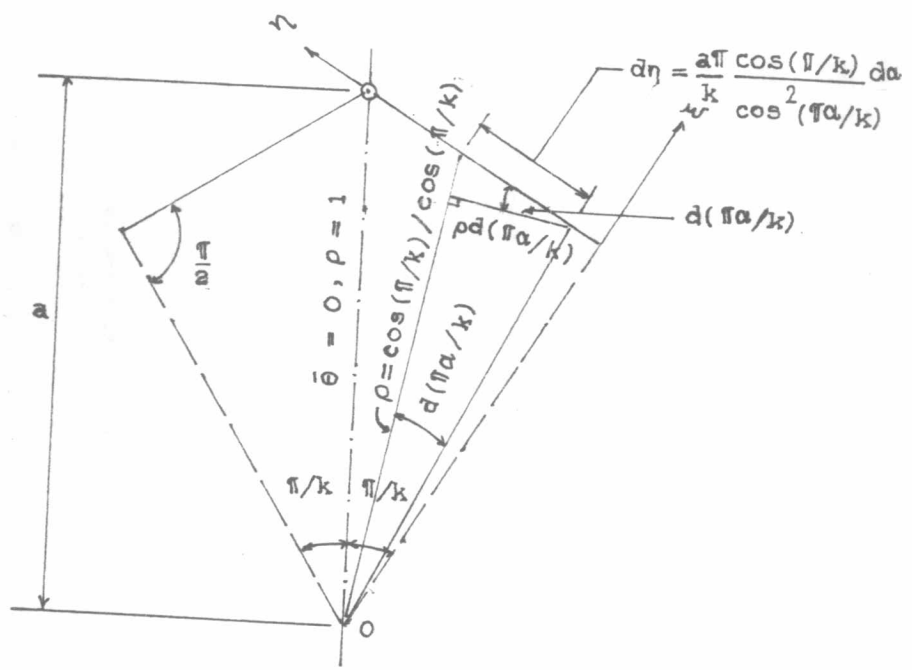
1. Nadai, A., Z. Physik, Vo. 23, 1922, P. 366.
2. Lee, S.L. and Ballesteros, P. "Uniformly Loaded Rectangular Plate Supported at the Corners", Int. J. Mech. Sci., Vol. 2, No. 3, 1960, PP. 206-211.
3. Vijakkana, C., Karasudhi, P. and Lee, S.L. "Corner Supported Equilateral Triangular Plates", Int. J. Mech. Sci., Vol. 15, 1973, PP. 123-128.
4. Suriyamongkol, S. and Suriya, P. "Corner Supported Equilateral Triangular Plate Subjected to a Concentrated Load at the Center", Int. J. Mech. Sci., Vol. 23, 1980, PP. 49-55.
5. Surasak Poonchainavaskuen. "Concentrated and Partially Distributed Loads on a Corner Supported Equilateral Triangular Plate". Master's Thesis, Department of Mechanical Engineering, Graduate School, Chulalongkorn University, 1978.
6. Girkmann, K. Flachentragwerke, Einfuhrung in die Elastostatic der Scheiben, Platten, Schalen und Fattwerke, Springer, Wien, 1954, PP. 37.
7. Prasong Ingsuwan. "Bending Analysis of Corner Supported Hexagonal Plates". Master's Thesis, Department of Mechanical Engineering, Graduate School, Chulalongkorn University, 1981.
8. Timoshenko, S. and Woinowsky-Krieger, S., Theory of Plate and Shells, McGraw-Hill Book Co. New York, 1959.

9. Wylie, C.R., Advanced Engineering Mathematics, McGraw-Hill Book Co. New York, 1975, pp. 512-513, 528.
10. Gradshteyn, I.S., and Ryzhik, I.M., Table of Integral Series and Products, 4th ed. Academic Press, Co., N.Y. & London, 1965, pp. 135, 143.

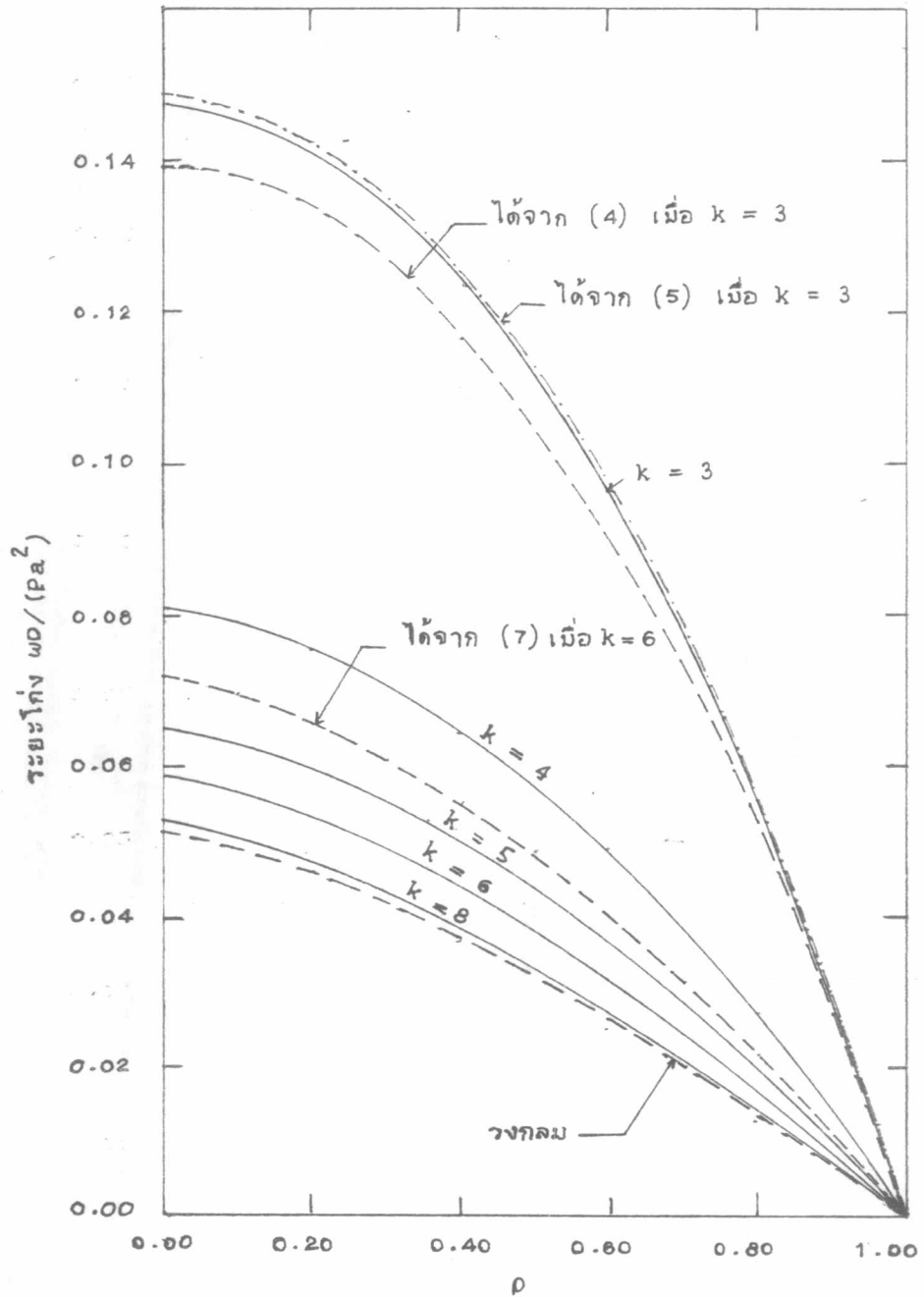
ภาคผนวก



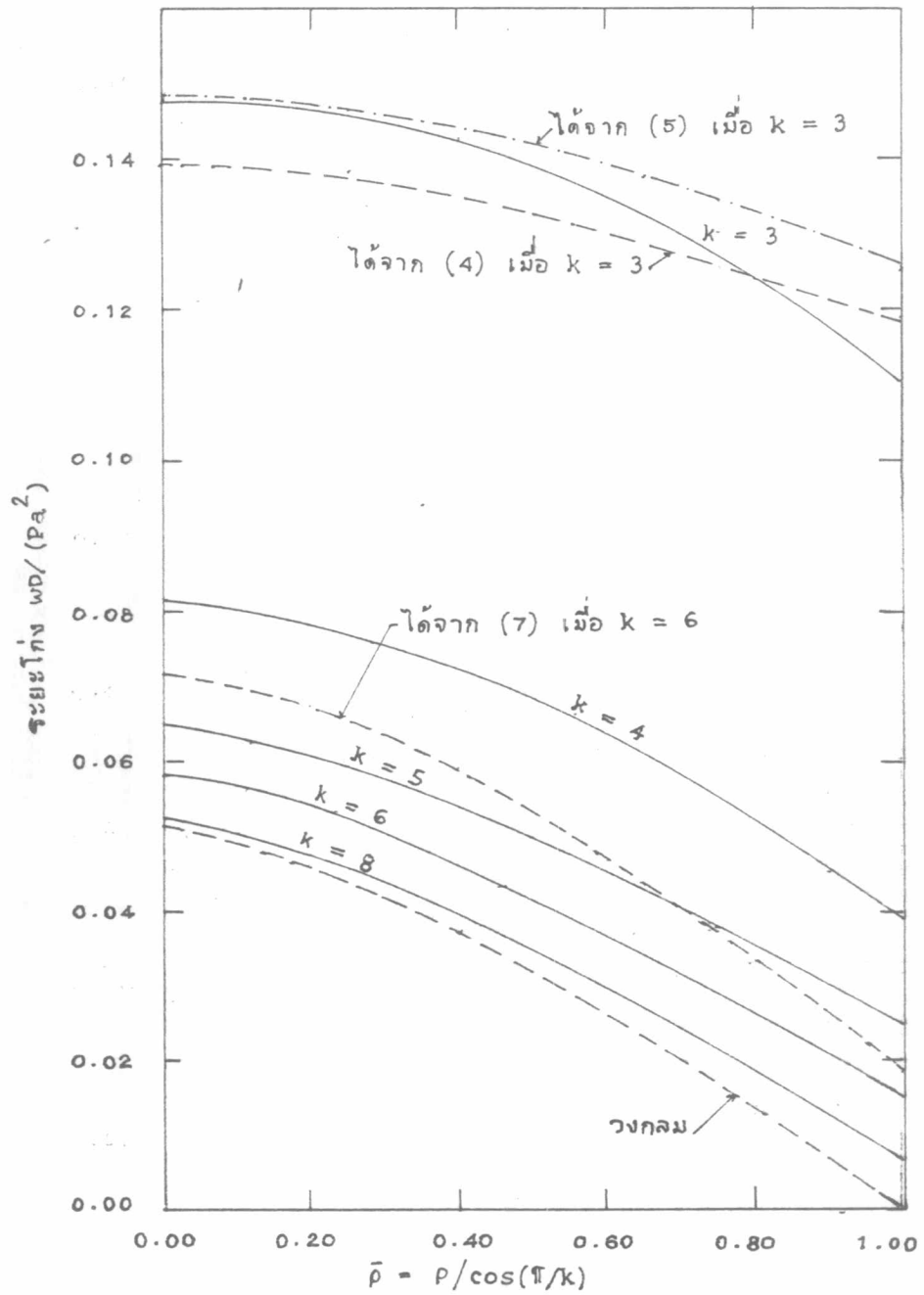
รูปที่ 1 แสดง Typical segment ของแผ่นพื้นรูป k เหลี่ยมด้านเท่า



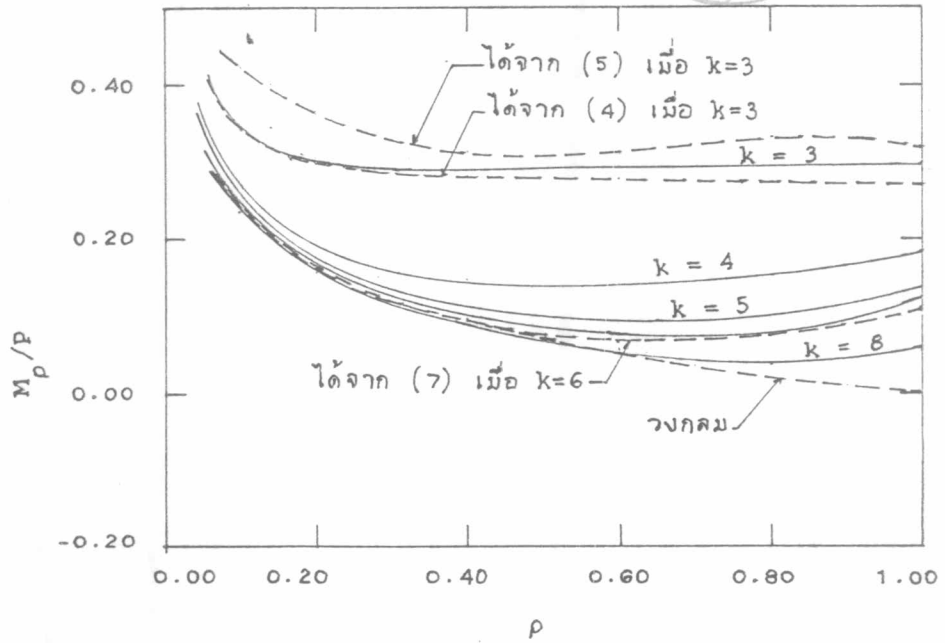
รูปที่ 2 แสดงความสัมพันธ์ระหว่าง dα กับ dη



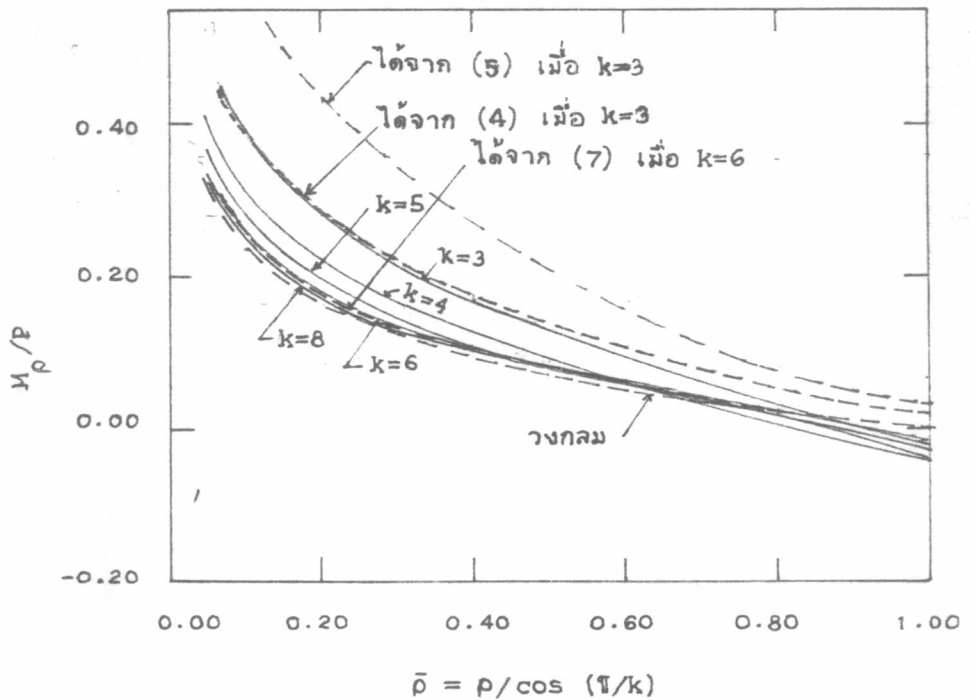
รูปที่ 3 กราฟแสดงค่าระยะโค้ง w เทียบกับ ρ เมื่อ $\bar{\theta} = 0$, $\nu = 0.3$



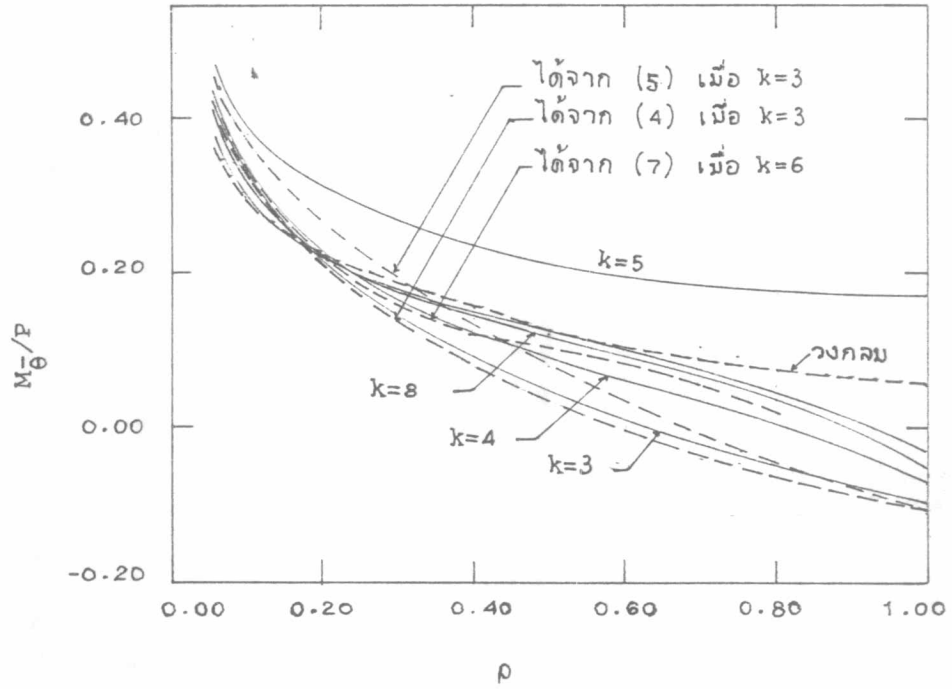
รูปที่ 4: กราฟแสดงค่าระยงโก่ง w เทียบกับ \bar{p} เมื่อ $\bar{\theta} = 1$, $\nu = 0.3$



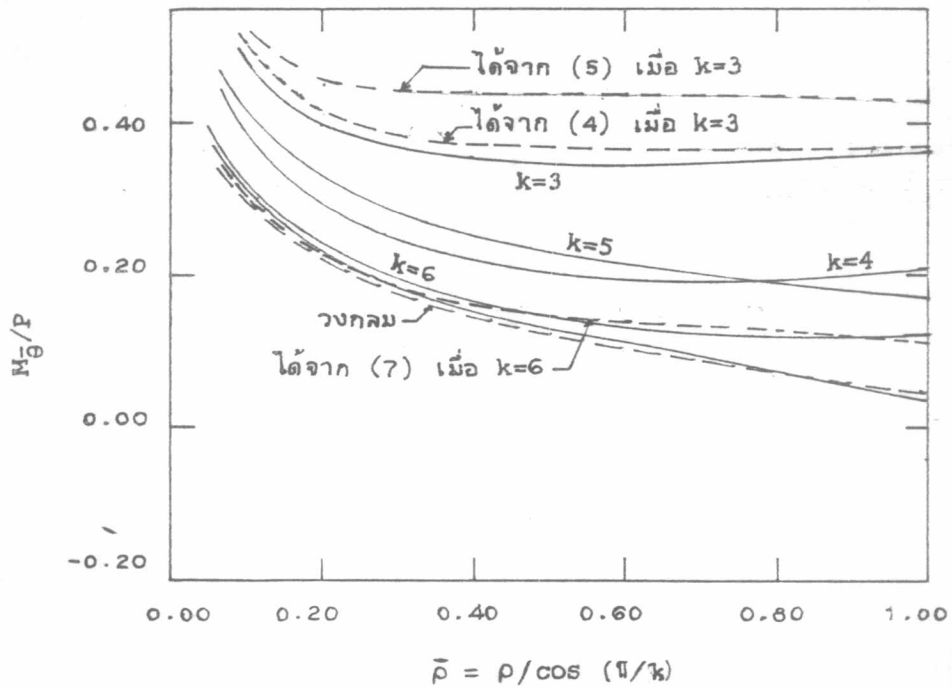
รูปที่ 5 กราฟแสดงค่าโมเมนต์ M_p/P เทียบกับ ρ เมื่อ $\theta=0$, $\nu=0.3$



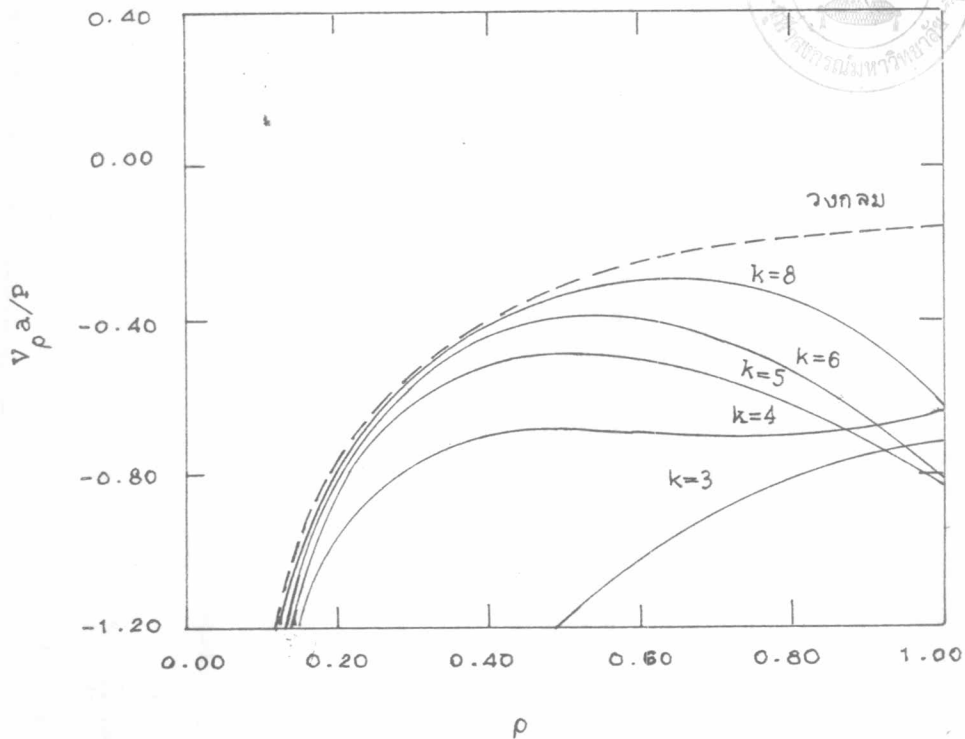
รูปที่ 6 กราฟแสดงค่าโมเมนต์ M_p/P เทียบกับ $\bar{\rho}$ เมื่อ $\theta=1$, $\nu=0.3$



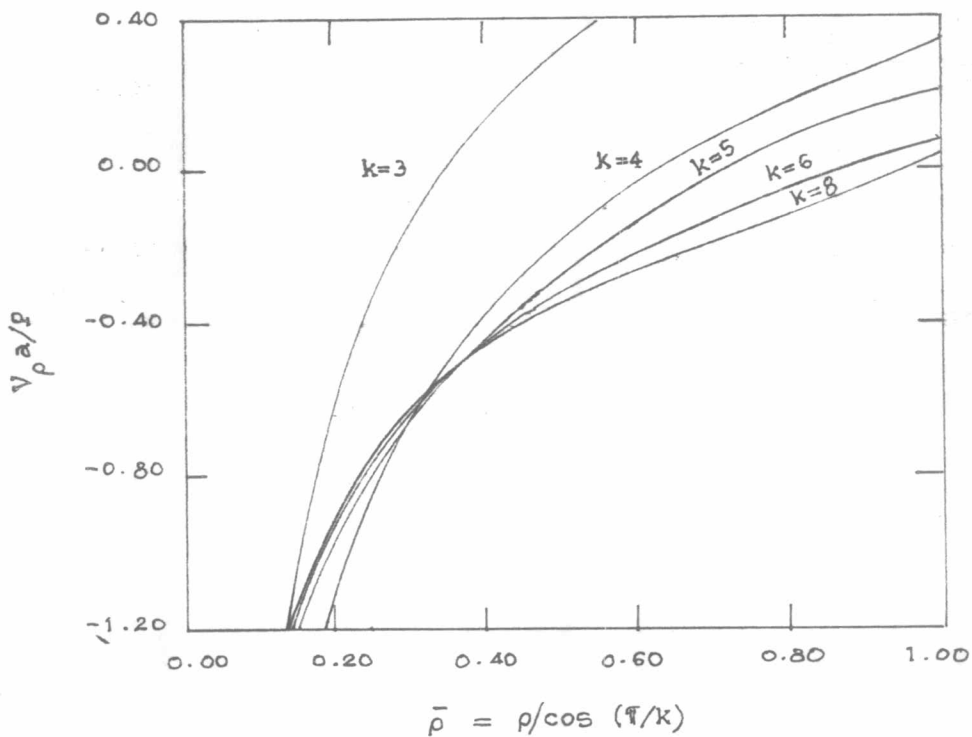
รูปที่ 7 กราฟแสดงค่าโมเมนต์ M_{θ}/P เทียบกับ ρ เมื่อ $\bar{\theta}=0$, $\nu=0.3$



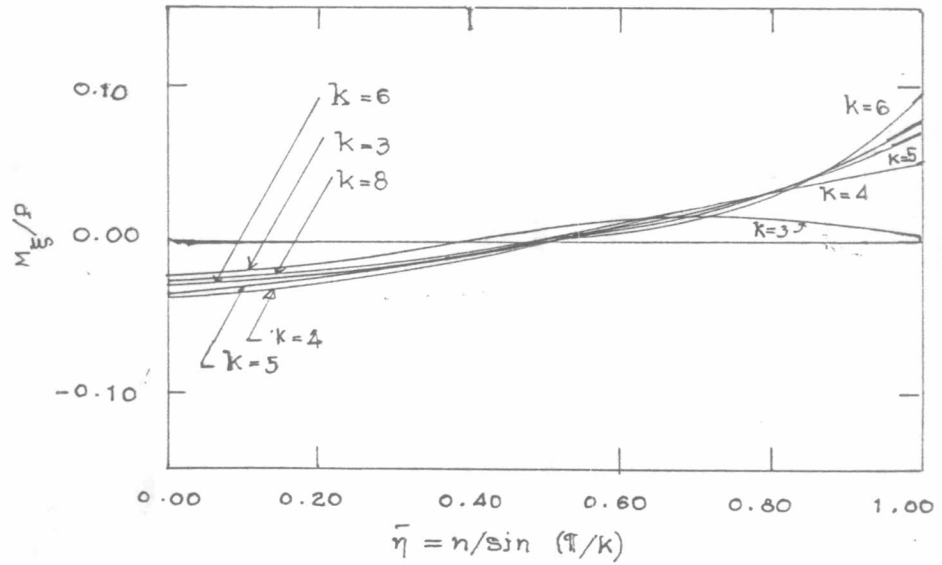
รูปที่ 8 กราฟแสดงค่าโมเมนต์ M_{θ}/P เทียบกับ $\bar{\rho}$ เมื่อ $\bar{\theta}=1$, $\nu=0.3$



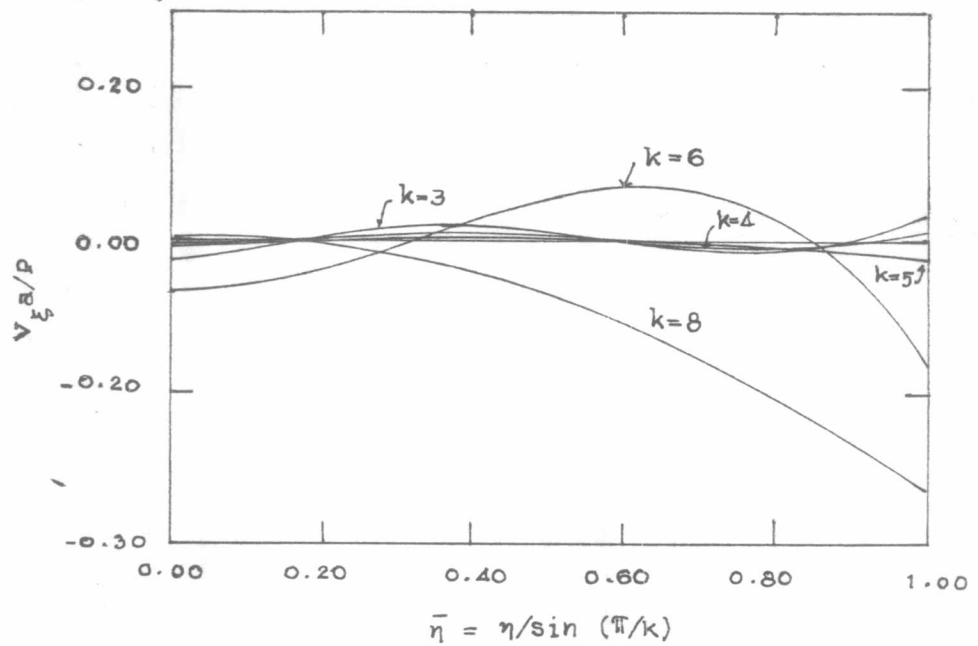
รูปที่ 9 กราฟแสดงค่าแรงเฉือนเคียร์คอฟ $v_{\rho} a/P$ เทียบกับ ρ เมื่อ $\bar{\theta} = 0$, $\nu = 0.3$



รูปที่ 10 กราฟแสดงค่าแรงเฉือนเคียร์คอฟ $v_{\rho} a/P$ เทียบกับ $\bar{\rho}$ เมื่อ $\bar{\theta} = 1$, $\nu = 0.3$



รูปที่ 11 กราฟแสดงค่าโมเมนต์ M_{ξ}/P ตามแนวขอบ เทียบกับ η เมื่อ $\nu=0.3$



รูปที่ 12 กราฟแสดงค่าแรงเฉือนเคียร์คอฟ $V_{\xi}a/P$ ตามแนวขอบ เทียบกับ η

ประวัติผู้เขียน

นายสมหมาย ชื่อสัตย์ เกิดเมื่อวันที่ 25 ธันวาคม พ.ศ. 2492 ที่จังหวัดเพชรบูรณ์ สำเร็จการศึกษาปริญญาวิศวกรรมศาสตรบัณฑิต สาขาวิศวกรรมโยธาจากสถาบันเทคโนโลยีพระจอมเกล้า (ธนบุรี) เมื่อปี พ.ศ. 2520 ปัจจุบันปฏิบัติราชการในตำแหน่งวิศวกรโยธา 5 กองวิเคราะห์และวิจัย กรมทางหลวง

